

УДК 536.46 : 538.214

**НЕЛИНЕЙНАЯ МАГНИТНАЯ ВОСПРИИМЧИВОСТЬ
И ФАЗОВЫЙ ПЕРЕХОД
«ПАРАМАГНЕТИК—СПИНОВОЕ СТЕКЛО»
В СПЛАВАХ 3d-ПЕРЕХОДНЫХ МЕТАЛЛОВ**

Г. А. Такзей

Динамическим методом изучены нелинейные магнитные восприимчивости кристаллических (FeNiCr, PdFeMn) и аморфного (FeNi) спиновых стекол. Показано, что во всех случаях превращение из парамагнитного в спин-стекольное состояние имеет характер кооперативного процесса, развивающегося при конечной критической температуре. Определены критические индексы, оказавшиеся близкими для спиновых стекол с разными типами конкурирующего обменного взаимодействия.

Теоретическое рассмотрение спиновых стекол (СС) в приближении молекулярного поля с бесконечным радиусом взаимодействия, а также машинное моделирование анизотропных гейзенберговских СС с РКИ-обменом и изинговских СС с взаимодействием ближайших соседей показывает, что превращение «парамагнетик—СС» (ПМ—СС) должно иметь кооперативный характер и происходить при конечной критической температуре (см., например, обзор [1]). Экспериментально наличие фазового перехода ПМ—СС, главным образом по результатам исследований нелинейной магнитной восприимчивости, было подтверждено для большого количества разбавленных сплавов благородных металлов с 3d-переходными [2, 3], в которых замороженное состояние возникает из-за наличия в них дальнодействующего знакопеременного РКИ-обмена.

Гораздо хуже обстоит дело с экспериментальным изучением металлических кристаллических и аморфных спин-стекольных систем, в которых преобладающим типом обменного взаимодействия является прямой обмен разных знаков между магнитоактивными атомами в пределах одной-двух координационных сфер. Например, в работах [4–8] показано, что в разупорядоченных ГЦК-сплавах FeNiCr и FeNiMn фазовый переход ПМ—СС существует, а в работе [9] его наличие отрицается. В то же время фазовый переход ПМ—СС должен описываться законами подобия и характеризоваться степенными расходящимися нелинейных восприимчивостей вблизи критической температуры [1, 10].

В настоящей работе, посвященной изучению нелинейных магнитных восприимчивостей кристаллических и аморфных концентрированных СС, показано, что и в сплавах с РКИ-обменом и в сплавах с короткодействующим конкурирующим обменом превращение ПМ—СС имеет кооперативный характер, развивается при конечной критической температуре и характеризуется близкими значениями критических индексов.

1. Методика эксперимента

Намагниченность M магнетика, помещенного в малое магнитное поле H , можно представить в виде

$$M = M_0 + \chi_0 H + \chi_1 H^2 + \chi_2 H^3 + \dots, \quad (1)$$

где M_0 — спонтанная намагниченность, χ_0 — линейная, а χ_1, χ_2 и т. д. — нелинейные магнитные восприимчивости. Из соображений симметрии ясно, что в отсутствие магнитного порядка ($M_0=0$), например, для СС нелинейные восприимчивости χ_1, χ_3 и т. д. тождественно равны нулю. Другими словами, в СС могут существовать лишь нелинейные восприимчивости χ_{2n} , где $n=1, 2, \dots$.

В настоящее время нелинейные восприимчивости χ_{2n} обычно исследуют двумя методами: статическим и динамическим. В первом случае изучается сингулярная часть χ_s магнитной восприимчивости, определяемая соотношением

$$\chi_s = M/H - \chi_0,$$

где M/H — полная, а $\chi_0 = (dM/dH)_{H \rightarrow 0}$ — начальная магнитная восприимчивость. Очевидно, для СС в χ_s входят все члены ряда (1) при нечетных степенях магнитного поля. Поэтому выделение компонент χ_{2n} в статическом эксперименте возможно лишь с помощью машинной обработки при варьировании достаточно большого числа параметров. Обычно $\chi_2 \approx (10^{-1} - 10^{-3}) \chi'_0$, а восприимчивости χ_4 и т. д. оказываются еще меньшими [11]. Поэтому при применении статических методов предъявляются очень жесткие требования к точности измерений. В то же время в динамическом методе при условии подавления сигнала от высших и низших гармоник соответствующие нелинейные восприимчивости χ_{2n} могут быть непосредственно измерены на третьей, пятой и т. д. гармониках основной частоты синусоидального магнитного поля (формула (1)). В силу указанных причин в настоящей работе нелинейные магнитные восприимчивости СС исследовались динамическим методом. Во избежание влияния на результаты измерений паразитных сигналов от основной и высших гармоник применялись режекторные фильтры, позволившие дополнительно подавить отмеченные паразитные сигналы в 100 и более раз.

Для исследования были выбраны сплавы ГЦК-систем $Fe_xNi_{80-x}Cr_{20}$ ($x=3, 4, 58$ ат. %), $Pd_{98-x}Fe_2Mn_x$ ($x=9$ ат. %), а также аморфный сплав $(Fe_xNi_{1-x})_{77}B_{13}Si_{10}$ ($x=0.07$). В области составов $x < 5$ ат. % в сплавах $Fe_xNi_{80-x}Cr_{20}$ основную роль в формировании СС играет РКИ-обмен между атомами железа, растворенными в ПМ матрице $NiCr$ [12]. В области составов $x \approx 55$ ат. % для той же системы сплавов, так же как и для сплава $Pd_{81}Fe_2Mn_9$, преобладает прямой знакопеременный обмен между соседними атомами [13, 14]. В аморфном сплаве $(Fe_{0.07}Ni_{0.93})_{77}B_{13}Si_{10}$, по-видимому, знакопеременный обмен отсутствует, а состояние СС образуется из-за значительной дисперсии обменного интеграла [15].

2. Экспериментальные результаты и их обсуждение

В ряде работ показано [10, 16], что фазовый переход ПМ — СС должен описываться скейлинговым уравнением, для сингулярной части χ_s восприимчивости СС имеющим вид (при условии малости измерительного магнитного поля)

$$\chi_s = \tau^{\beta} F(h^2/\tau^{\varphi}) = a_2 h^2 \tau^{\beta-\varphi} + a_4 h^4 \tau^{\beta-2\varphi} + \dots, \quad (2)$$

где $F(x)$ — скейлингова функция; $\tau = (T/T_c - 1)$ — приведенная температура; $h = \mu g H / k_B T_c$ — приведенное магнитное поле; a_{2n} — коэффициенты разложения χ_s в ряд по степеням $h^2 \tau^{-\varphi}$; $\varphi = \gamma + \beta$; γ и β — соответственно критические индексы обобщенной восприимчивости $\chi_{EA} = 1/N \cdot \sum_{ij} \langle \langle S_i S_j \rangle \rangle_T - \langle \langle S_i \rangle \rangle_T \langle \langle S_j \rangle \rangle_T \rangle^2_T$ и параметра порядка $q_{EA} = \langle \langle \langle S_i \rangle \rangle_T^2 \rangle_T$ СС. Здесь $\langle \dots \rangle_T$ означает термодинамическое, а $\langle \dots \rangle_I$ конфигурационное усреднение. Отметим, что члены ряда (2) пропорциональны определяемым экспериментально нелинейным восприимчивостям, т. е. $a_{2n} \tau^{\beta-\varphi} = \chi_{2n}$, где $n = 1, 2, \dots$.

На рис. 1 в качестве примера приведены типичные температурные зависимости линейной динамической восприимчивости χ_0 и нелинейных

восприимчивостей χ_2 , χ_4 аморфного СС $(\text{Fe}_{0.07}\text{Ni}_{0.93})_{77}\text{B}_{13}\text{Si}_{10}$. Видно, что вблизи температуры T_c излома зависимости $\chi'_0(T)$ наблюдаются резкие аномалии $\chi_2(T)$ и $\chi_4(T)$.

По полученным экспериментальным зависимостям $\chi_2(T)$ и $\chi_4(T)$ можно судить о наличии или отсутствии фазового перехода ПМ—СС в исследуемых системах. Действительно, из разложения (2) следует

$$\chi_2 \sim \tau^{-\gamma}, \quad \chi_4 \sim \tau^{-(\beta+2\gamma)}, \quad (3), (4)$$

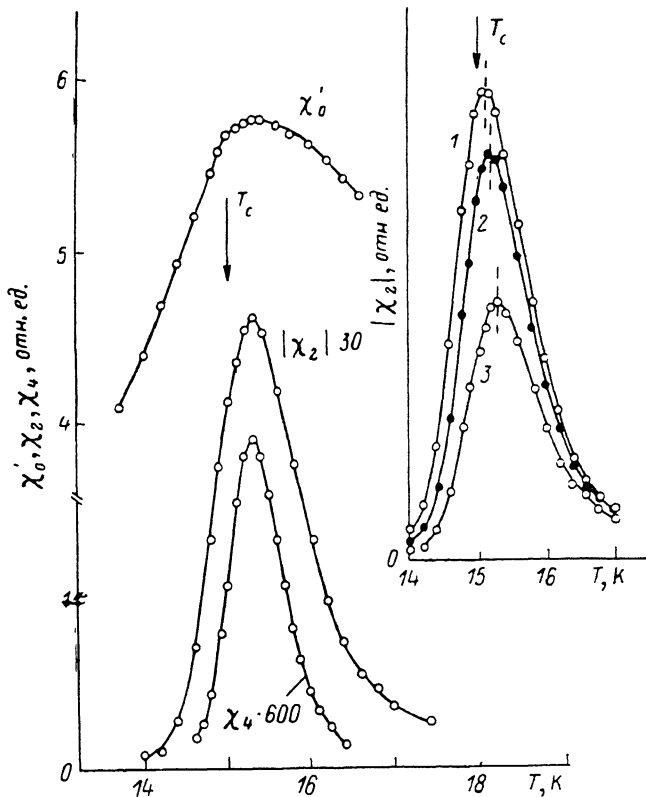


Рис. 1. Температурные зависимости линейной χ'_0 и нелинейных χ_2 , χ_4 восприимчивостей для аморфного спинового стекла $(\text{Fe}_{0.07}\text{Ni}_{0.93})_{77}\text{B}_{13}\text{Si}_{10}$.

Напряженность измерительного поля 3 Э, частота 200 Гц. На вставке — температурная зависимость $|\chi_2|$ при различных частотах перемагничивающего поля. 1 — 60, 2 — 120, 3 — 240 Гц.

откуда для температур $T > T_c$ получаем

$$|\chi_4/\chi_2| \sim |\chi_2|^{(1+\beta)/\gamma}. \quad (5)$$

Таким образом, если соотношение (5) выполняется на эксперименте, это однозначно свидетельствует о справедливости разложения (2) и переход ПМ—СС является истинным фазовым переходом, описываемым скейлинговым уравнением состояния.

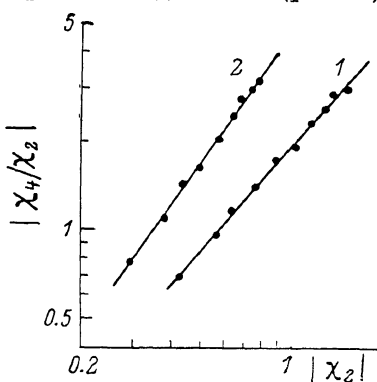
На рис. 2 в качестве примера в двойном логарифмическом масштабе приведены результаты сопоставления χ_2 и χ_4 для аморфного и кристаллического СС. Видно, что в обоих случаях соотношение (5) выполняется в широком температурном интервале и, следовательно, в рассмотренных сплавах происходит кооперативный фазовый переход ПМ—СС. Из приведенных данных можно определить показатель степени при $|\chi_2|$ (формула (5)), который, например, для аморфного СС $(\text{Fe}_{0.07}\text{Ni}_{0.93})_{77}\text{B}_{13}\text{Si}_{10}$ составил $1+\beta/\gamma=1.18 \pm 0.10$ и для кристаллического СС $\text{Fe}_{58}\text{Ni}_{22}\text{Cr}_{20}$ $1+\beta/\gamma=1.43 \pm 0.10$.

Температуры T_c фазового перехода и критические индексы для некоторых спиновых стекол

Состав	T_c , К	γ	β	δ	ν
Теория молекулярного поля		1	1		
Fe ₅₈ Ni ₂₂ Cr ₂₀	15.6±0.1	2.1±0.1	0.9±0.1	3.3±0.2	1.3±0.2
Fe ₃ Ni ₇₇ Cr ₂₀	4.6±0.05	2.15±0.10	1.0±0.1	3.2±0.2	1.4±0.2
Fe ₄ Ni ₇₆ Cr ₂₀	8.4±0.1	2.0±0.1			
Pd ₆₉ Fe ₂ Mn ₉	11.1±0.1	2.2±0.1	0.95±0.10	3.3±0.2	1.4±0.2
(Fe _{0.07} Ni _{0.93}) ₇₇ B ₁₃ Si ₁₀	15.0±0.1	2.05±0.10	0.38±0.10	6.4±0.2	0.9±0.2
Ag _{99.5} Mn _{0.5} [21]	2.94±0.01	2.1±0.1	0.9±0.2	3.3±0.2	1.3±0.2
Ag _{99.5} Mn _{0.5} [30]		2.2±0.2	1.0±0.1		
Ag _{79.5} Mn _{20.5} [30]		2.2±0.2	1.0±0.1		
Fe ₆₅ Ni ₂₀ Cr ₁₅ [7]	20.6±0.1	2.75±0.07	0.55±0.05		
Fe ₇₀ Ni ₂₀ Cr ₁₀ [7]	21.2±0.1	2.65±0.10	0.60±0.05		

Таким образом, мы убедились, что для рассматриваемых СС применимо разложение (2). Это означает, что температурные зависимости χ_2 подчиняются степенному закону (3), что подтверждается данными (рис. 3). Выполненная на ЭВМ по методу наименьших квадратов обработка температурных зависимостей χ_2 по формуле (3) позволила определить критические температуры T_c всех изученных СС (отмечено вертикальными стрелками на рис. 1; см. также таблицу), величины которых совпали с их зна-

Рис. 2. Зависимость $|\chi_4/\chi_2|$ от $|\chi_2|$ в двойном логарифмическом масштабе для спиновых стекол (Fe_{0.07}Ni_{0.93})₇₇B₁₃Si₁₀ (1) и Fe₅₈Ni₂₂Cr₂₀ (2).



чениями, полученными из исследований низкочастотной критической динамики [4, 5, 17]. Обращает на себя внимание тот факт, что критическая температура T_c не совпадает ни с температурой излома на зависимости $\chi'_0(T)$, ни с температурой максимумов $|\chi_2(T)|$ и $\chi_4(T)$ (рис. 1). Причины этого явления будут рассмотрены ниже.

С помощью описанной процедуры был определен также критический индекс γ для всех рассмотренных СС, значения которого оказались близкими к 2 (см. таблицу).

Эксперименты, выполненные рядом авторов (см. обзоры [2, 3]), показывают, что значения критического индекса γ нелинейной восприимчивости χ_2 колеблются в пределах от 0 до 3.8 и зависят от типа изучаемых систем, способа измерения нелинейной восприимчивости и условий эксперимента. В связи с этим отметим следующие два обстоятельства.

Во-первых, из-за наличия в металлических СС анизотропии Дзялышинского—Мории [18, 19] величина γ может зависеть от напряженности измерительного магнитного поля и температуры. Например, для разбавленного СС Cu_{99.8}Mn_{0.2} в малых полях ($H \leq 300$ Э) вблизи T_c $\gamma = 2.2 \pm 0.1$ (случай сильной анизотропии), а в более сильных полях ($H \geq 1000$ Э) и при более высоких температурах $\gamma = 3.3 \pm 0.3$ (случай слабой анизотропии) [20].

Во-вторых, выполненные в настоящей работе эксперименты показывают, что в присутствии даже небольшого постоянного магнитного поля вблизи температуры T_c экстремумов $\chi'_0(T)$, $\chi_2(T)$ и $\chi_4(T)$ возникают четные по магнитному полю нелинейные восприимчивости χ_1 , χ_3 и т. д. (см. формулу (1)). Например, для аморфного СС (Fe_{0.07}Ni_{0.93})₇₇B₁₃Si₁₀ в магнитном

поле Земли вблизи T_c , χ_1 составила $\sim(0.008 \div 0.012)\chi'_0$ и исчезала при полной компенсации геомагнитного поля. Аналогичное явление наблюдалось авторами [21] в разбавленных СС AgMn. Следовательно, если не предпринимать специальных мер, нелинейные восприимчивости χ_1 , χ_3 и т. д. в критической области будут иметь заметную величину и, как легко видеть, нарушится справедливость разложения (2). Естественно, при этом неверно будут определены критические индексы. Указанное обстоятельство полностью игнорируется в большинстве работ, посвященных исследованиям нелинейной магнитной восприимчивости СС статическими методами. Попутно отметим, что непосредственное наблюдение в процессе проведения эксперимента нелинейных восприимчивостей χ_1 , χ_3 и т. д. возможно только при использовании динамического метода измерения восприимчивости, что подтверждает правильность выбранной в настоящей работе экспериментальной методики.

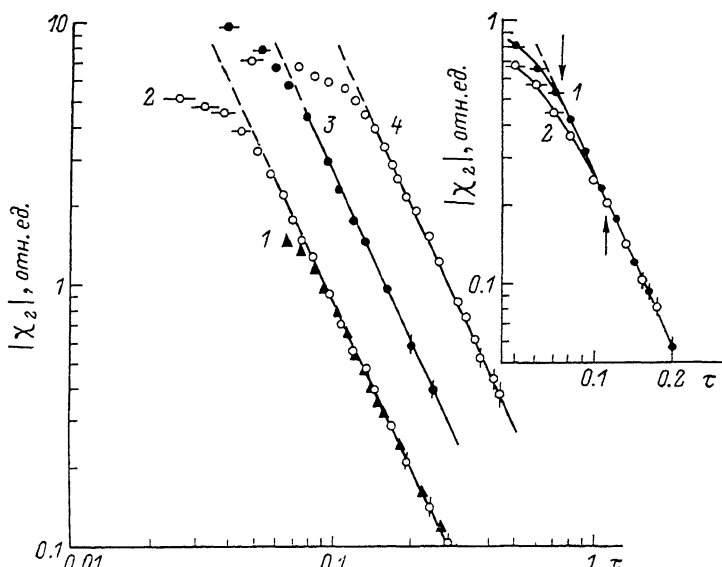


Рис. 3. Зависимость нелинейной магнитной восприимчивости $|\chi_2|$ от приведенной температуры τ для спиновых стекол $Pd_{39}Fe_2Mn_9$ (1), $Fe_{58}Ni_{22}Cr_{20}$ (2), $(Fe_{0.07}Ni_{0.93})_{77}B_{13}Si_{10}$ (3), $Fe_4Ni_6Cr_{20}$ (4).

На вставке — зависимости $|\chi_2(\tau)|$ для спинового стекла $(Fe_{0.07}Ni_{0.93})_{77}B_{13}Si_{10}$, измеренные на частотах 60 (1) и 200 Гц (2).

С помощью полученных выше значений $1 + \beta/\gamma$ и γ нетрудно определить величины критического индекса β параметра порядка СС. Для большинства изученных концентрированных СС β оказался близким к 1 (см. таблицу). Такое значение β находится в хорошем согласии с величиной, предсказываемой теорией молекуларного поля [1] и независимо определенной в [4, 22] из температурных зависимостей параметра порядка Эдвардса—Андерсона q_{EA} . В то же время малая величина β , полученная для аморфного СС $(Fe_{0.07}Ni_{0.93})_{77}B_{13}Si_{10}$, может быть связана с близостью состава данного сплава к критической концентрации возникновения дальнего ферромагнитного порядка в системе $(Fe_xNi_{1-x})_{77}B_{13}Si_{10}$ [15]. Как показано в [22], при таких условиях определение β из температурных зависимостей q_{EA} крайне затруднительно или совсем невозможно. Из сказанного следует, что метод определения β из данных по нелинейным восприимчивостям СС, по-видимому, является наиболее универсальным.

Найденные значения γ и β позволяют, пользуясь скейлинговыми соотношениями [23]

$$\beta\delta = \gamma + \beta, \quad \nu d = 2\beta + \gamma$$

($d=3$ — размерность пространства), вычислить другие критические индексы, например δ , ν (см. таблицу). Верьма существенно, что для концент-

рированных СС $\text{Fe}_x\text{Ni}_{80-x}\text{Cr}_{20}$ и $\text{Pd}_{89}\text{Fe}_2\text{Mn}_9$ значения всех критических индексов хорошо согласуются с их величинами, определенными в [21] для разбавленных РКИ—СС AgMn .

Как известно, одним из фундаментальных свойств СС является зависимость температуры T_f максимума χ'_0 от характерного времени эксперимента [2, 3, 24]. Такие же зависимости характерны и для температур экстремумов χ_2 (рис. 1; см. также [25]). Следует также отметить, что, как и в разбавленных РКИ—СС [21, 26], в изученных в настоящей работе системах наблюдается насыщение $\chi_2(\tau)$, заметное при $\tau \leq 0.05 \div 0.1$ (рис. 3), причем область, в которой отмечается отклонение $\chi_2(\tau)$ от зависимости (3), возрастает при увеличении измерительной частоты (вставка на рис. 3).

Отмеченные явления, а также тот факт, что всегда $T_f > T_c$, естественно связать с проявлением динамических черт критических явлений, сопровождающих фазовый переход ПМ—СС. Действительно, при приближении к T_c из ПМ области расходимость нелинейных восприимчивостей χ_{2z} свидетельствует о критическом возрастании корреляционного радиуса r_c СС по закону $r_c \sim \tau^{-v}$ [27], где v — критический индекс корреляционного радиуса. Например, для разбавленного СС AgMn при $\tau \approx 10^{-2}$ $r_c \approx 2 \times 10^3 \text{ \AA}$ [21]. С другой стороны, из теории динамического скейлинга [24] следует, что характерное время Γ_0^{-1} релаксации критических флуктуаций связано с их размерами соотношением $\Gamma_0^{-1} \sim r_c^z$, где z — динамический критический индекс. Очевидно, если Γ_0^{-1} становится сравнимым с характерным временем эксперимента $(2\pi/\omega)$, это должно приводить к наблюдаемому нарушению зависимости (3) в области приведенных температур, где $(2\pi/\omega) \leq \Gamma_0^{-1}$. Естественно, при меньших характерных временах измерения (больших измерительных частотах $\omega/2\pi$) такое отклонение должно наблюдаться при больших τ , что и происходит в действительности (вставка на рис. 3).

Рассмотрим теперь частотные сдвиги температуры T_f экстремумов χ_2 (рис. 1). При увеличении измерительной частоты $\omega/2\pi$ на порядок для СС $(\text{Fe}_{0.07}\text{Ni}_{0.93})_{77}\text{B}_{13}\text{Si}_{10}$ T_f сдвигается на $\Delta T_f \approx 0.3 \text{ K}$, т. е. относительный сдвиг составляет $\Delta T_f/T_f \approx 2 \cdot 10^{-2}$. Относительные сдвиги такого же порядка наблюдаются в других спин-стекольных системах (EuSrS [28], AgMn [21], FeNiMn [9]) и совпадают с относительной шириной наблюдаемой флуктуационной области при измерительных частотах 10—100 Гц. Кроме того, определенные в настоящей работе температуры T_c фазового перехода ПМ—СС для разных систем сплавов очень хорошо согласуются с температурами максимумов статической намагниченности соответствующих СС, измеренной в минимальных (1—2 Э) магнитных полях [29]. В последнем случае характерные времена эксперимента составляют $\sim 10^2 \text{ s}$, т. е. практически достигается статический предел. Из сказанного следует, что температуры T_f максимумов $\chi'_0(T)$ и $|\chi_2(T)|$, которые часто отождествляются с температурами фазового перехода ПМ—СС, строго говоря, таковыми не являются. Критические температуры T_c могут быть корректно определены либо из описанной выше скейлинговой обработки, либо из измерений восприимчивости при условии $H \rightarrow 0$ и $2\pi/\omega \rightarrow \infty$.

Таким образом, в настоящей работе показано, что в концентрированных СС на основе сплавов переходных металлов, в которых реализуются различные типы флуктуирующего обмена, превращение ПМ—СС происходит как фазовый переход при конечной критической температуре. Такой переход может быть описан законами подобия и характеризуется степенными расходимостями нелинейных магнитных восприимчивостей. Значения критического индекса γ нелинейной восприимчивости χ_2 оказываются в два раза большими, чем предсказывает теория молекулярного поля [10], и практически одинаковы для изученных СС разных типов. Найденные величины критического индекса β параметра порядка СС для большинства СС согласуются с предсказанными теорией молекулярного поля [1, 10] значениями. Исключение составляет лишь аморфный сплав

$(\text{Fe}_{0.07}\text{Ni}_{0.93})_{77}\text{B}_{13}\text{Si}_{10}$, в котором весьма значителен вклад ферромагнитного обмена в общую обменную энергию.

Существенно, что весьма близкие значения критических индексов γ и β получены в недавних, тщательно выполненных экспериментах на классических СС AgMn [21, 30]. Следовательно, все перечисленные системы можно отнести к одному классу универсальности. Что касается имеющихся в литературе данных о СС, для которых γ принимает значения от 0 до 3.8, то, по-видимому, эти результаты должны быть пересмотрены с точки зрения экспериментальной методики их получения.

Автор благодарит А. М. Костышина за проведение некоторых экспериментов, В. Г. Барьяхтара и А. Г. Лесника за полезные дискуссии.

Список литературы

- [1] Binder K., Yuong A. P. // Rev. Mod. Phys. 1986. Vol. 58. N 4. P. 801—976.
- [2] Fischer K. H. // Phys. St. Sol. 1985. V. b130. N 1. P. 13—71.
- [3] Tholen J. L. / Physica. 1984. V. B126. N. 1. P. 157—164.
- [4] Такзей Г. А., Костышин А. М., Гребенюк Ю. П. и др. // ЖЭТФ. 1986. Т. 90. № 5. С. 1843—1851.
- [5] Костышин А. М., Такзей Г. А. // ФТТ. 1986. Т. 28. № 5. С. 1525—1528.
- [6] Гребенюк Ю. П., Такзей Г. А. // Препринт ИМФ АН УССР, № 29. Киев, 1988. 51 с.
- [7] Дерябин А. В., Казанцев В. К., Захаров И. В., и др. // ЖЭТФ. 1986. Т. 91. № 8. С. 607—620.
- [8] Дерябин А. В., Казанцев В. К., Тьков А. В. и др. // ФТТ. 1986. Т. 28. № 6. С. 1654—1658.
- [9] Дерябин А. В., Тьков А. В. // Письма в ЖЭТФ. 1984. Т. 39. № 3. С. 129—131.
- [10] Suzuki M. // Progr. Theor. Phys. 1977. V. 58. N 4. P. 1151—1165.
- [11] Miyako Y., Taniguchi T. // J. Magn. Magn. Mater. 1986. V. 54—57. Pt 1. P. 131—132.
- [12] Такзей Г. А., Сыч И. И., Костышин А. М. и др. // Металлофизика. 1983. Т. 5. № 1. С. 113—115.
- [13] Меньшиков А. З., Кузьмин Н. Н., Казанцев В. А. и др. // ФММ. 1975. Т. 40. № 3. С. 647—650.
- [14] Затопляев А. К., Меньшиков А. З., Такзей Г. А. // Тез. XVIII Всес. конф. по физике магнитных явлений. Калинин, 1988. Т. 3. С. 598—599.
- [15] Moorjani K., Coey J. M. C. Magnetic glasses. Amsterdam: Elsevier, 1984. 525 p.
- [16] Omari R., Prejean J. J., Souletie J. Lecture Notes in Physics. Berlin: Springer-Verlag, 1983. V. 192. P. 70—78.
- [17] Костышин А. М., Такзей Г. А. // ФММ. 1986. Т. 62. № 1. С. 84—88.
- [18] Levy P. M., Fert A. // Phys. Rev. 1981. V. B23. N 9. P. 4667—4690.
- [19] Kotliar G., Sompolinsky H. // Phys. Rev. Lett. 1984. V. 53. N 18. P. 1751—1754.
- [20] de Courtenay N., Bouchiat H., Hurdequin H. et al. // J. Appl. Phys. 1987. V. 61. N 8. P. 4097—4099.
- [21] Levy L. P., Ogielski A. T. // Phys. Lett. 1986. V. 57. N 26. P. 3188—3191.
- [22] Такзей Г. А., Костышин А. М., Гребенюк Ю. П. и др. // Укр. физ. журн. 1986. Т. 31. № 8. С. 1247—1250.
- [23] Стенли Г. Фазовые переходы и критические явления. М.: Мир, 1973. 419 с.
- [24] Tholen J. L. // Sol. St. Comm. 1980. V. 35. N 1. P. 113—117.
- [25] Chikazawa S., Sandberg C. J., Miyako Y. // J. Phys. Soc. Jap. 1981. V. 50. N 9. P. 2884—2890.
- [26] Taniguchi T., Matsuyama H., Chikazawa S. et al. // J. Phys. Sol. Jap. 1983. V. 52. N 12. P. 4323—4330.
- [27] Ogielski A. T. // Phys. Rev. 1985. V. B32. N 11. P. 7384—7398.
- [28] Maletta H., Felsch W. // Phys. Rev. 1979. V. B20. N 3. P. 1345—1360.
- [29] Костышин А. М., Такзей Г. А. // ЖЭТФ. 1986. Т. 91. № 11. С. 1938—1943.
- [30] Bouchiat H., Monod P. // J. Magn. Magn. Mater. 1986. V. 54—57. Pt 1. P. 124—126.

Институт металлофизики АН УССР
Киев

Поступило в Редакцию
14 февраля 1989 г.